

CrO_2

10

VII 2350 1953

CrO₃ (SH_f, Ti₂)

Атбас C.M., Шыквариев C.H.,

Леушикова В.Б.

Н.С. обн. Железни, 1953, 23, №8, 1241-45

РДИСХ, 1954, №5,

17803.

~~Eorb~~ ~~Q.~~ ~~M.~~

~~Индивидуум~~

M.B

CeO_2

Лонгвик 564]

Bauerista R.G., Margrave J.L.

Получение CeO_2 путем
реакции MgO с CeB_3 при
высоких давлениях и
высоких температурах.

I

Лобанов Н.Н.

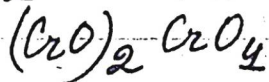
1956

CrO₂

ЖЧХ, 1956, 1, N° 1, 24-26.

спросим О возможностях верификации
бактериального хрома.

CrO₂ имеет спросим:

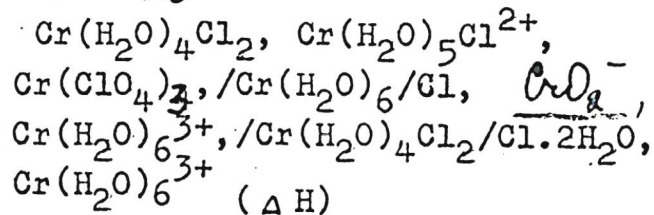


02-56-19-61261

Расмбопек
Хуорыголб Cr.

A-915

1958



Schug K., King E.L.

J.Amer.Chem.Soc., 1958, 80, N5, 1089-91.

A calorimetric determination of the values
of ΔH for certain chromium-chloride complex
ion reactions.

RX., N19, 1958, 63673 W, Ja

VII 4398

1960

CrO₂ (a, δ, c)

Siratori K., Lida S.,

J. Phys. Soc. Japan, 1960, 15, n 12,
2362-2363

● Me.

cer q-k,

1960

1B12. Получение ферромагнитной двуокиси хрома.
 Kubota Buichi. Preparation of ferromagnetic chromium dioxide. «J. Phys. Soc. Japan», 1960, 15, № 9, 1706
 (англ.).—Кривые зависимости давления O_2 от т-ры при нагревании CrO_3 (I) со скоростью 10 град/час в бомбе с малым свободным объемом содержат участки разложения I до Cr_3O_8 (II), II до Cr_2O_5 (III), III до CrO_2 (IV) и IV до Cr_2O_3 , разделенные участками, на которых эти соединения не разлагались. Образование II—IV подтверждено изотермич. нагреванием I при высоком давлении O_2 с рентгенографич. и хим. апализом закаленных остатков. В II—IV отношение O : Cr равно соответственно 2,6—2,7, 2,4—2,5 и 1,9—2,1. Чистый IV получен нагреванием CrO_3 в течение 4 час. при 480° и $p_{O_2} = 560 \text{ кг}/\text{см}^2$. Т-ра Кюри IV равна 117° , магнитный момент соответствует $2,01 \pm 0,03 \mu_B$.

И. Рысс

 CrO_2
 (ферромагн.)

x. 1962. 1

BP-2147-VII

1961

CrO₂

(P, 14)

) Decomposition of higher oxides of chromium under various pressures of oxygen. ~~Buichi Kubota (Matsushita Elec. Ind. Co., Osaka, Japan).~~ *J. Am. Ceram. Soc.* 44(5), 239-48(1961). The formation of Cr₃O₈, Cr₂O₅, CrO₂, and Cr₂O₃ by the decompr. of anhyd. CrO₃ under a high O pressure and their phys. and chem. properties are presented. The crystal structure of CrO₂ is a rutile type and its lattice consts. do not vary with the ratio O/Cr. The d. of CrO₂ decreases with an increase in the ratio O/Cr. This is explained by assuming that the crystal structure of CrO₂ contains an excess of Cr ions at interstitial sites. This crystal model is supported by the low elec. resistivity of CrO₂. An electron microscopic examn. showed an abnormal grain growth of CrO₂ during the decompr. of Cr₂O₅ to CrO₂. Cr oxides Cr₃O₈, Cr₂O₅, and CrO₂ start to decomp. into Cr₂O₃ at 325°, 380°, and 450°, resp., in air. The activation energies of the decompr. of Cr₂O₃ and CrO₂ in air are 61.7 and 48.2 kcal./mole, resp. The phase diagram of Cr oxide was detd. tenta-

C.A. 1964. 20 VII 12883 C

tively. Transformations CrO_3 - Cr_3O_8 , Cr_3O_8 - Cr_2O_3 , and Cr_2O_3 - CrO_2 do not depend on the pressure in the range investigated and the transformation temp. are 220° , 280° , and 370° , resp. The transformation CrO_2 - Cr_2O_3 depends on both the temp. and pressure. The heat of decompn. of CrO_2 is 26.3 kcal./mole from the pressure-temp. curve of the CrO_2 - Cr_2O_3 transition.

RCCR

1962

 CrO_2

23Б304. Рентгенографическое и магнитное изучение монокристаллов CrO_2 . Cloud W. H., Schreiber D. S., Babcock K. R. X-ray and magnetic studies of CrO_2 single crystals. «J. Appl. Phys.», 1962, 33, № 3, Suppl., 1193—1194 (апгл.).—Проведено рентгенографич. исследование ($\lambda\text{Mo}-K_{\alpha}$) и изучение анизотропии магнитных свойств монокристаллов CrO_2 . Параметры тетрагональной решетки (при компатией т-ре): $a = 4,4218$, $c = 2,9182$ Å, ф. гр. $P4/mmm$, что хорошо согласуется с ранее полученными данными (РЖХим, 1962, ЗВ37). Методом наименьших квадратов проведено уточнение параметра a и атомов O по интенсивностям 6 рефлексов $hk0$ с $h + k = 2n + 1$. Значение $a = 0,301 \pm 0,004$ дает фактор расходности $R = 0,030$. Установлено, что магнитное насыщение 640 Гц при -196° и 490 Гц при 25° . Напряженность поля, обеспечивающая насыщение, измерялась (с точностью ~ 500 э) при компатией т-ре и т-ре жидкого азота в плоскостях (100) и (110) под различными углами к оси c. При угле 40° в плоскости (100) обнаруживается минимум. Последнее согласуется с нейтронографич. исследованием порошка CrO_2 , которое показывает, что угол между направлением атомных моментов и осью c $\sim 40^\circ$.

П. Зоркий

2.1962.23

CrO₂, CrO₃(Cp, S, H_T, F^O_T)

VII 2119 1963

Nagarajan G.

Austral.J.Chem., 1963, 16, N5, 908-14.

Mean umplitudes of vibration and thermodynamic functions of chromium dioxide and chromium trioxide.

RX., 1964, 17E361 J, Est/orig.

Gro2(2)

1963

Gordon F.S., Robinson R.

In: Kinetics equilibria and performance
of high-temperature systems:

Proc. of the 2nd Conf., Apr. 1962 /Ed.

G. S. Bahn - N.Y.; 1963, p 39.

$\text{CrO}_2(z)$

1963

Gordon J.S., Robinson R.

In: Kinetics equilibria and performance
of high-temperature systems:

Proc. of the 2nd Conf. Apr. 1962 / Ed G.S.
Bahn. N.Y.; 2., 1963. p 39

51018.1134

Ch

CrO₂ (kp, iH⁰)
CrO₃

VII 397
1964

Glemser O., Müller A. Gasförmige Hydroxide.

VIII. Über ein gasförmiges Hydroxid des Chroms. "Z. anorgan. und allgem. Chem.", 1964, 334, N 3-4, 150-154

(нем., рез. англ.)

μ

если ошиб

900 ВИНИТИ

1966

CrO₂

19 M78. Горячее прессование CrO_2 . Nakayama
 Nobuo, Higota Eiichi, Nishikawa Tomozo. Hot-pressing of CrO_2 . «J. Amer. Ceram Soc.»,
 1966, 49, № 1, 52—53 (англ.)

Порошок CrO_2 получали термич. разложением CrO_3 под давл. кислорода 300 атм при 420—450°. Из CrO_2 прессовали диски диам. 6 и толщиной 3 мм, к-рые нагревали 2 часа при 450° под давл. 10—30 m/cm^2 . Проведено электронномикроскопич. исследование излома поверхности образцов. Межзернистый излом наблюдается на образцах, спрессованных при давл. $< 15 \text{ m/cm}^2$. Форма зерен не меняется. Излом образцов, спрессованных $> 25 \text{ m/cm}^2$, проходит вдоль зерен. Плотность образцов, спрессованных при давл. 30 m/cm^2 , составляет $> 99\%$ от теоретич. Уд. электрич. сопротивление растет с повышением температуры. Р. Брескер

Х. 1966. 19. II

C₂O₂ (kp), ZnO₂ (T_g)

1966

VII 3412

Fukunaga Osamu

Bull. Tokyo Inst. Technol. 1966, N^o 8,
pp. 37 (aer.)

Solid-state reactions in some oxide
systems under very high pressure.

Plenum, 1969

1561072

✓

Библиография

Б, М (б)

Cu_2O_3 , CuO_2 "sp. (Ok⁰, ΔG^0 , ΔH^0) b67

Булавова А. Г., Библиотекарь, д. 3.

Ms. Field. Hawks. McCa. Vesta. Miss.,
1964, Job, 129-41. VII 4916

ମୁଦ୍ରଣ କାର୍ଯ୍ୟକ୍ଷେତ୍ର ପାଇଁ କାନ୍ଦିଲାଙ୍କାରୀ ପାଇଁ
କାନ୍ଦିଲାଙ୍କାରୀ ପାଇଁ କାନ୍ଦିଲାଙ୍କାରୀ

⁷
 C_2O_3 , $C_{28}O_{21}$, $C_{25}O_{12}$, C_2O_2 , $(C_2O_3 \text{ (s) } Hf, Cp)$ 1967

Richelmi R., Laffaille M. VII 93

C. r. Acad. sci., 1967, C²⁶⁵, n° 10, 541-543 (éparg.)

Analyses enthalpique différentielle de
l'anhydride chromique par microcalorimétrie.

ECTB Ph. R.

M, 5 (Cp) 10

PH. R. 1968

136831

111-11201

1967

CrO₂

10 В12. Устойчивость CrO₂ при высоком давлении и температуре в зонной печи. De Vries R. C. Stability of CrO₂ at high pressures and temperatures in the «belt» apparatus. «Mater. Res. Bull.», 1967, 2, № 11, 999—1007 (англ.)

Cr₂O₃

Исследовано разложение CrO₂ (I) с образованием в интервале 800—1500° при давл. 15—65 атм в зонной печи. Установлено, что I не разлагается в течение ~10 мин. при т-рах >1500° и давл. 60—65 т. атм. Следовательно, авторы предполагают возможным проведение р-ций I с окислами др. элементов (напр., PbO) с образованием минералоподобных в-в (напр., перовскита PbCrO₃). Резюме,

1969

10.

VII-14201

1967

CrO₂
dr

2 E486. Стабильность CrO₂ при высоких давлениях и температурах в аппарате «Белт». De Vries R. C. Stability of CrO₂ at high pressures and temperatures in the «belt» apparatus. «Mater. Res. Bull.», 1967, 2, № 11, 999—1007 (англ.)

Исследовано разложение CrO₂ в Cr₂O₃ при т-рах от 800 до 1580°С и при давлениях 15—65 кбар. Обернутые платиной образцы помещались в среду NaCl или Al₂O₃. Образцы выдерживались в камере высокого давления до 60 мин., после чего производилась закалка и исследование их рентгенографическим, оптическим и магнитометрич. методами. Обнаружено, что CrO₂ стабилен при $T=1500^{\circ}\text{C}$ и $P=60-65$ кбар при выдержке 10 мин. Получена кривая разложения CrO₂→Cr₂O₃ в диапазоне давлений 15—65 кбар. Результаты использованы для получения перовскита PbCrO₃. Е. Ю. Тонков

9. 1969

22

α - O

1967

CrO_3
автоматическое
с CrO_2

Cr_2O_3

получение

6 E537. Восстановление CrO_3 до CrO_2 и Cr_2O_3 при сверхвысоком давлении и высокой температуре. Kawai Naoto, Sawaoka Akira. Reduction of CrO_3 into CrO_2 and Cr_2O_3 under very high pressure and high temperature. «Japan. J. Appl. Phys.», 1967, 6, № 12, 1397—1399 (англ.)

Исследованы условия получения CrO_2 восстановлением из CrO_3 при высоких давлениях и т-рах по реакции $2\text{CrO}_3 = 2\text{CrO}_2 + \text{O}_2$. Эксперименты проводились на октаэдрич. установке высокого давления в диапазоне давлений 15—85 кбар и т-р от 380 до 1600°C . Исходный

φ. 1968. 02

материал, CrO_3 , нагревался при фиксированном давлении в течение нескольких минут с помощью графитового нагревателя. После отключения нагревателя и охлаждения со скоростью $\sim 80^\circ \text{C}/\text{сек}$ образцы подвергались тщательному рентгенографич. и термомагн. анализу. Найдена граница областей устойчивости CrO_2 и Cr_2O_3 на $T-P$ -диаграмме: $T (\text{°C}) = 19P (\text{кбар}) + 150$. При проведении экспериментов наблюдалась случаи взрыва, вызванного тем, что давление кислорода превышало силы трения в прокладках установки высокого давления и приводило к выбросу пирофиллита. При этом образец спонтанно превращался в Cr_2O_3 . Полученные в работе данные плохо согласуются с результатами других исследователей.

В. Зильберштейн

CrO₂

1967

9 В25. Получение окисла четырехвалентного хрома из хлористого хромила. Ugiel K. J. de. Preparation of chromium(IV)-oxide from chromylchloride. «Naturwissenschaften», 1967, 54, № 21, 563 (англ.)

Обнаружено, что нагревание CrO_2Cl_2 (I) в атмосфере O_2 при давл. 12—25 атм приводит к получению чистого CrO_2 . Для синтеза CrO_2 использовали запаянную ампулу из пирексного стекла, изготовленную в виде буквы П с поперечной перемычкой посередине. В одно колено ампулы помещали исходный I, в другое — CrO_3 , при термическом разложении которого выделялось необходимое количество O_2 . Разложение I проводили при т-ре $370 \pm 5^\circ$ в течение 20 час. В продуктах р-ции обнаружены монокристаллы CrO_2 длиной до 0,07 мм. С. С. Бердоносов

X. 1968. 9

1988

 CrO_2

20 В16. Получение ферромагнитного окисла CrO_2 .
 Claude Renée, Lorthioir Gérard, Mazieres Charles. Sur une préparation de l'oxyde ferromagnétique CrO_2 . «C. r. Acad. sci.», 1968, C 266, № 7, 462—464 (франц.)

Изучено термич. разложение CrO_3 в присутствии $\text{CaCl}_2 \cdot 2\text{H}_2\text{O}$ при атмосферном давл. и разных т-рах, а также в запаянных стеклянных трубках при 300—450° с последующей закалкой продуктов ф-ции при т-ре жидк. N_2 . Продукты исследовали рентгенографически, а также методами ДТА и электронной микроскопии. При т-ре 360°, времени нагревания 24 час. и содержании $\text{CaCl}_2 \cdot 2\text{H}_2\text{O}$ 7 мол.% образуется продукт, к-рый после промывки ф-ром HCl представляет собой очень

Tt2

1. 1988.

20

чистый ферромагнитный CrO_2 с выходом ~90%. При использовании вместо $\text{CaCl}_2 \cdot 2\text{H}_2\text{O}$ эквивалентных кол-в H_2O или безводн. CaCl_2 при 360° превращение CrO_3 в чистый CrO_2 не наблюдается. Для полученного CrO_2 $a = 4,421$; $c = 2,916\text{\AA}$; магнитный момент $1,96 \mu\text{в}$; точка Кюри при 116° . При этой же т-ре наблюдается небольшой термич. эффект. Предположено, что промежуточным в-вом при образовании CrO_2 является CrO_2Cl_2 , к-рый затем разлагается на CrO_2 и Cl_2 . При т-ре ниже 360° образуется в основном Cr_2O_5 . При более высоких т-рах образуется фаза Cr_2O_3 , кол-во к-рой увеличивается с температурой.

И. Н. Семенов

РДР - 6717 - Vii

1968

CrO₃

kp.

З Е358. Фазовое равновесие в системе CrO₂—Cr₂O₃. Fukunaga Osamu, Saito Shin'go и др. Phase equilibrium in the system CrO₂—Cr₂O₃. «J. Amer. Ceram. Soc.», 1968, 51, № 7, 362—363 (англ.)

В аппарате высокого давления типа поршень—цилиндр исследовано фазовое равновесие CrO₂—Cr₂O₃ до 35 кбар. и 1400° С. Образцы CrO₃ чистотой 99,5% или эквимолярной смеси CrO₃ и Cr₂O₃ помещались в ампулу из Au или Pt, которая очищалась от кислорода. Производились закалка образцов под давлением со скоростью ~80°/сек. и исследование их рентгенографич., магнитометрич. и микроскопич. методами. Фазовая граница выше 400° С, полученная по эксперим. данным, описывается ур-нием: $\lg P = 5,3 - 1400/T$ (где P в барах, T в °К), что значительно отличается от расчетного ур-ния, основанного на приближении идеального газа.

Е. Ю. Тонков

09.1969:

38

18

1968

ВФД - 6717 - VII
У204 - VII

CrO₂
Cr₂O₃

T_{tz}

4 Б878. Фазовые равновесия в системе CrO₂—Cr₂O₃.
 Fukunaga Osamu, Saito Shinroku. Phase equilibrium in the system CrO₂—Cr₂O₃. «J. Amer. Ceram. Soc.», 1968, 51, № 7, 362—363 (англ.)

Кривая равновесия CrO₂—Cr₂O₃ определена при давл. до 35 кбар и т-ре до 1400° в аппарате высокого давл. типа поршень—цилиндр. Идентификация фаз проведена рентгеновским и микроскопич. методами, а также определением магнитной восприимчивости. Фазовая граница CrO₂/Cr₂O₃ при т-рах >400° описывается ур-ием $\lg P = 5,3 - 1400/T$, где P — давл. в бар и T — т-ра в °К. Т-ра Кюри для CrO₂ равна 390°.

Л. В. Шведов

X. 1969. 4



+1



VII 4204

1968

CrD₂ - Cr₂D₃ (T_{tr.})

Osamu F., Shinzoku S.,

J. Amer. Ceram. Soc.,

1968, 51, n7, 362-365

T

RENO_3 , Cen. 1964, Agt. HgJ₂, VQ, O₂O₂ (T_m) LC 1963

Nygren M., Magnetometer R. VI 4822 67.

Obsrv. report, 1963, L&S, 113, 217-221 (cont.)

Tracing phase transitions by means of high
frequency & c measurements using a Q-meter,

Pittman, 1963.

876532

5 CP 8

Gd, Ni, Gd₂O₃, Fe₂TeO₆, Fe₂O₃, 8 6 1969
holoed., Gd₂O₃, NiO, Ca₂O₃, CrN, Ni₃SnO₃, 9 40
Ca₂Ti₃O₅, V₂O₅, LiVO₃, BaTiO₃, (Pz) VI 7148.
Williams H.W., Chonquerland B.G.
Proc. U.S. Chem., 1969, 41, 214, 2080-2035 (unpub.)
Determination of Oerst, Néel, or crystalliza-
tion temperature temperatures via
differential scanning calorimetry.

			сумм опн.
P.H. Kew, 1970	94	6	6 ④
1151355	0	21	

CrO_2
1666

Brewer L., Rosenblatt G. all. ¹⁹⁶⁹

Kupatiba

In "Advances in High
Temperature Chemistry"
Ed. H.-R. Eyring Vol II Head,
Press N.Y. a.s., 1969 p. 1

68

T.x. $\text{CrO}_2(\text{r})$

CrO₂

VII-5083

1970

12 В28. Синтез CrO₂ окислением Cr(OH)₃. Shiba-
saki Y., Kanamata F., Koizumi M., Ado K.,
Kumte S. Synthesis of CrO₂ by oxidation of Cr(OH)₃.
«Mater. Res. Bull.», 1970, 5, № 12, 1051—1058 (англ.)

Описаны способы получения CrO₂ из Cr(OH)₃ в различных т-рных условиях до 650° и давл. кислорода до ~2100 бар. Из сухого Cr(OH)₃ в интервале 150—350° и давл. O₂ от 50 до 500 бар образуется ромбоэдрич. CrOOH, окисляющийся при т-ре >380° в CrO₂ (I) с параметрами ячейки $a = 4,221 \pm 0,003$, $c = 2,915 \pm 0,003$ Å; т-ра Кюри I $122 \pm 3^\circ$. Увеличение т-ры и давл. O₂ ведет к увеличению размеров кристаллитов I. В аналогичных условиях I получается также из влажн. Cr(OH)₃. Получить I из Cr₂O₃ в интервале 400—500° и P_{O₂} ~1000 бар не

составление

Температура =
= 122 ± 3

X · 1971 · 12

удалось. Предполагают два пути образования I из $\text{Cr}(\text{OH})_3$: один через CrOOH , другой через H_2CrO_4 по р-ции $4\text{Cr}(\text{OH})_3 + n\text{H}_2\text{O} + 3\text{O}_2 \rightarrow 4\text{H}_2\text{CrO}_4 + (2+n)\text{H}_2\text{O}$, $\text{H}_2\text{CrO}_4 = \text{I} + \text{H}_2\text{O} + \text{O}_2$. В последнем случае H_2O играет роль катализатора. В зависимости от пути синтеза I имеет различный размер зерна (увеличивается при росте через H_2CrO_4). Проведено электронно-микроскопич. исследование образующегося I и промежут. продуктов.

И. А. Роздин

CrO₂
132293k Chromium dioxide-based thermomagnetic information storage and retrieval systems. Waring, R. K., Jr. (E. I. du Pont de Nemours and Co., Wilmington, Del.). *J. Appl. Phys.* 1971, 42(4), 1763-8 (Eng). Its high intrinsic moment ($\delta \cong 85$ emu/g at room temp.) and its readily accessible Curie point ($T_c \cong 134^\circ$) make single domain CrO₂ particularly suitable for thermomagnetic recording. Because coercivity in CrO₂ scales with intrinsic magnetization, the large, thermally induced changes in local magnetization that occur near but below T_c are reversible and can be used for nondestructive "pyromagnetic" readout of recorded information. System component demonstration indicates that a 1-W continuous-wave laser-powered digital storage and retrieval system can be operated with thermomagnetic recording and nondestructive pyromagnetic readout at 2×10^6 bits/sec. A flash lamp powered system for thermomagnetic storage of halftoned photographs was built with readout by anhysteretic transfer to a thin ferromagnetic film and subsequent magnetooptic conversion to a visible image. RCJL

1971

T_c = 134 °C

C. A. 1971. 44.24

CrO₂ (Tcavie) + VII 5334 1971

Waring R.K. Jr.,
J. Appl. Phys., 1971, 42, N° 11, 1763-8 (ams.)

Chromium dioxide-based thermo-magnetic information storage and retrieval systems.

5 (P) 6 .

CA, 1971, 44, N° 24, 132293K

CrO_2

Чекуров А.Н.

1971

и гр.

Р

(Рекоменд. "Н.С. спус.
химии" АН СССР)

дл., 1971.

(ав. CrO_2)?

BrDz(2) 07.21.71 / 1971

Чижевков В.И., Чижевков

Ю.В. и гр.

Масс-спектрометрическое
исследование соединения
из патогенов рода *окрец*
Красн.

БИИИТИ Ден. № 3770-71, Москва
1971.

CrO_2

Chizhikov, D.M.; et al

1972

(ΔH_s ; P)

"Zh. Fiz. khim.", 1972, 46,
N3, 806-807.

• (crys. CrO , \bar{I}).

CrO₂

1972

17 Б454. Двуокись хрома: синтез при высоком давлении и длины связей. Porta P., Maggio M., Reimeika J. P., Dernier P. D. Chromium dioxide: high pressure synthesis and bond lengths. «Mater. Res. Bull.», 1972, 7, № 2, 157—161 (англ.)

Осуществлены синтез (взаимодействием при давл. 36 кбар и 900° смеси CrO₃ и Cr₂O₃ с добавкой в кач-ве флюса KOH) и рентгенографич. исследование (методы порошка, прецессии, λ Си, и монокристального дифрактометра, λ Mo, 85 отражений, МНК, анизотропное приближение, $R=0,017$) кристаллов CrO₂ (I). Параметры тетрагональной решетки: $a = 4,4190$, $c = 2,9154$ Å, $Z = 2$, ф. гр. $P4_2/mnm$. I кристаллизуется в структурном типе рутила: атомы O образуют плотнейшую гексагон. упаковку, атомы Cr располагаются в октаэдрич. пустотах т. о.,

(K, тер)

Ср-рас

*Структурн. тип
рутила, РtO₂*

X · 1972

17

что в структуре реализуются бесконечные цепи из соединенных ребрами октаэдров в направлении оси с. Четыре экваториальных межатомных расстояния Cr—O равны 1,910, два аксиальных расстояния Cr—O 1,891; отношение этих величин, определяющее степень сжатия октаэдра, равно 0,990 и отличается от аналогичного отношения длин связей в октаэдрах в структурах TiO_2 (1,016) и VO_2 с добавкой 2,4% Cr (1,007); в окислах же RuO_2 и OsO_2 это отношение, также как и в I, меньше единицы.

С. В. Рыкова

CrO_2

В90-501-XVII

1973

- ✓ З Б867. Фазовая граница системы $\text{CrO}_2-\text{Cr}_2\text{O}_3$ при высоких давлениях кислорода. Shibasaki Yasuo, Kamatagi Fumikazu, Koizumi Mitsue, Kume Shoichi. $\text{CrO}_2-\text{Cr}_2\text{O}_3$ phase boundary under high O_2 pressures. «J. Amer. Ceram. Soc.», 1973, 56, № 5, 248—249 (англ.)

ΔH° ; ΔG°
 ΔS°

С применением нового типа кислородного компрессора изученное фазовое равновесие в системе $\text{CrO}_2-\text{Cr}_2\text{O}_3$ при высоких давл. O_2 . Исходный CrO_2 синтезировали нагреванием CrO_3 или аморфного $\text{Cr}(\text{OH})_3$ при 450° под 1000 атм давл. O_2 в течение 60 час. Затем CrO_2 сушили при 120° в SiO_2 -трубе и помещали в бомбу.

Х. 1974 № 3

давл. O_2 в к-рой изменяли от 80 до 2100 атм, а т-ру от 400 до 650° . Точность определения давл. $\pm 13\%$, т-ры 5° . После 60 час выдержки в заданных условиях бомбу закаливали в H_2O и содержимое исследовали рентгенографически (дифрактометр), измерением магнитной восприимчивости, ДТА и ТГА. Установлено, что фазовая граница в системе $Cr_2O_3-CrO_2$ при 1000 атм O_2 лежит в интервале $520-580^\circ$ и описывается ур-ием $lg P O_2 = 7,16 - (3579/T)$. Для р-ции $2CrO_2 \rightleftharpoons Cr_2O_3 + \frac{1}{2}O_2$ определены значения ΔG° , ΔH° и ΔS° , равные $(-1,55/100)T + 7,60$; $-8,19$ ккал/моль, и $(-15,8/T) + 0,0155$ э. е. соответственно.

И. Роздин

CrO_2
4991

Kim Y.-W., Belton G. R. 1974

Kuganawba

Metall Trans., 1974, 5, p. 1811

58

T.X. CrO_2 (r)

2

B9 - 1575 - XVII

1975

CrO_2

14 Б894. Дифференциальный термический анализ процессов образования CrO_2 при высоких давлениях кислорода. Namikawa Tatsuru, Satou Minogi. «Nihon kagaku kaisi, Nippon kagaku kaishi, J. Chem. Soc. Jap., Chem. and Ind. Chem.», 1975, № 1, 52—56 (япон.; рез. англ.)

процесс
образования

Методом ДТА в специальном аппарате изучен процесс образования CrO_2 (I) при давл. O_2 до 700 атм. Исходными продуктами являлись CrO_3 (II), Cr_2O_5 (III) и $\text{Cr}(\text{OH})_3$ (IV). При P_{O_2} 300 атм III переходит в I при $\sim 420^\circ$ с последующим переходом в Cr_2O_3 (V) при $\sim 500^\circ$; II плавится и при $\sim 300^\circ$ переходит в III.

CrO_3 Тm

Cr_2O_5 /
 $\text{Cr}(\text{OH})_3$ Тtr

(+3)



1975. N 14

с последующим образованием I и V при $\sim 420^\circ$ и $\sim 500^\circ$ соотв. С повышением P_{O_2} от 0,2 атм до 700 атм т-ра образования III и I уменьшается, а т-ра образования V увеличивается. В случае IV при P_{O_2} 0,2 атм после дегидратации протекает образование V; при P_{O_2} 100—120 атм процесс протекает с образованием при 300° $HCrO_2$ и затем V; одновременно протекает побочный процесс образования H_2CrO_4 с переходом в I и затем в V по мере повышения т-ры. При P_{O_2} 560—720 атм побочная р-ция протекает так же как и при 100 атм, а основной процесс идет с последовательным образованием $CrOOH$, $HCrO_2$, I и V.

Л. В. Шведов

O₂O₃

Bp - 1545 - XVII

1975

Namikawa Tatsuru,
Satou Minoru.

T_m. =
= 900 °C

"J. Chem. Soc. Jap. Chem
and Ind. Chem." 1975 N°
52-56, (Jpn. pag. aux)

(ent O₂; I)

$\text{GSO}_2(z)$

1975

Серебренников Л. В., Манесов А. А.

Бийский Ден. № 27-75. М., 1975.

1975

*CrO₂**(dH)*

-) 24 Б780. Система хром-кислород при повышенном давлении кислорода. White William B., Roy Rustum. The system chromium-oxygen at high oxygen pressures. «Geochim. et cosmochim. acta», 1975, 39, № 6—7, 803—817 (англ.)

С помощью рентгеновского и ИК-спектроскопич. методов, а также магнитных измерений изучена система Cr—O при давл. до 3 кбар. и т-ре до ~700°. Исследование проведено путем установления равновесия между CrO_3 или $\text{Cr}(\text{OH})_3$ и O_2 , закачиваемым под большим давлением в аппарат для гидротермальных процессов; часть экспериментов проведена в аппаратуре высокого давления типа якорь-цилиндр. При давл. >100 бар

1975
24

x 1975 n 24

и т-ре выше 250° образуется окисел Cr_3O_8 , к-рый при т-ре $>275^\circ$ переходит в Cr_2O_5 (необратимый процесс). При 360° Cr_2O_5 превращается в CrO_2 и при дальнейшем повышении т-ры ($\geq 430^\circ$ при 100 бар) образуется Cr_2O_3 (с обратимый процесс). При давл. >2 кбар появляется фаза Cr_5O_{12} . Установлены координаты инвариантной точки равновесия газовой фазы с CrO_2 , Cr_2O_3 и Cr_2O_5 35 бар и 370° . Фаза CrO_2 нестабильна при $\sim 200^\circ$ и атм. давл., но с ростом давл. поле ее стабильности увеличивается и при давл. >70 кбар она является единственной стабильной фазой.. Рассчитана величина ΔH для р-ции $2\text{CrO}_2 \rightarrow \text{Cr}_2\text{O}_3 + \text{Y}_2\text{O}_2$, равная 9,8 ккал/атом О.

Л. В. Шведов

1976

CrO_2

№ 2 Б599. К вопросу о валентности хрома в соединении CrO_2 . Кузнецов Ю. С., Виглин Н. А., Степанов А. П., Китаев Г. А., Мохов А. Г. «Ж. физ. химии», 1976, 50, № 8, 2109—2110

В интервале т-р 290—600°К исследована т-риая зависимость ширины линий, интенсивности и величины резонансного поля для ферромагнитного резонанса (ФР) порошкового ферромагнетика CrO_2 . Обнаружен сдвиг максимума поглощения, что позволило определить точку Кюри $T_c = 403 \pm 3^\circ\text{K}$. На основе анализа полученных данных сделан вывод, что наличие спектра ФР выше T_c , по-видимому, обусловлено остаточным ферромагнитным упорядочением.

Автореферат

X1977 N 2

1977

*CrO₂**метод
получения**20. 1978, № 4*

4 B5. Новый метод получения диоксида хрома.
 Demazeau Gérard, Maestro Patrick, Plante Théophile, Pouchard Michel. Sur une nouvelle méthode d'obtention du dioxyde de chrome. «C. r. Acad. sci.», 1977, C285, № 6, 225—227 (франц.; рез. англ.)

Описан метод получения CrO₂ (I) окислением с помощью неорг. окислителей гидратированной окиси состава Cr₂O₃·xH₂O (II), где 3<x<6. Исходный II синтезируют по р-ции двойного обмена между NH₃·H₂O и CrCl₃ в водн. р-ре. Осадок II отмывают водой от NH₄Cl и сушат. Окисление II в I проводят с помощью L = HClO₄, HJO₃ или H₄JO₆; мол. отношение L:II = 1,4; 2 и 3 соотв. Реакц. смесь помещают в закрытую ампулу из золота и ведут синтез при давл. 2 атм и 400° в течение 20 час. Полученный I обладает структурой рутила с параметрами решетки a 4,31; c 2,91; измеренная т-ра Кюри равна 120°. Размеры микрокристаллов I прямо зависят от скорости подъема т-ры синтеза, увеличения конц-ии L и времени процесса. Полученный I может быть использован в кач-ве покрытия для магнитных лент.

Р. А. Лидин

CrO_2^{+2}

1944

Rosenstock H.H. et al

J. Phys. Chem. Ref. Data,

1974, 6. Suppl. n1, p 1-497

T.g.
ebba

CrO_2^+

1977

Rosenstock H. M. et al

J. Phys. Chem. Ref. Data,

1977, 6. Suppl. NIP 1-496

T.G.
BB-Ba

~~CrD_E~~
463

Институт Своечных Техн-
нологий Академии наук СССР
¹⁹⁷⁷

A(B)

Всесоюзное регистрационное
наименование - изобретение
патент 1977. № 39. М. № 3.
"Нагка", 1978, с. 27

35

CrD_E T.I.X. Син. II Там.

1978

*CrO₂**Синтез*

11 Б819. Диоксид хрома — синтез и морфология.
 Agrawald D. K., Biswas A. K., Rao C. N. R.,
 Subbarao E. C. Chromium dioxide — synthesis and
 morphology. «Mater. Res. Bull.», 1978, 13, № 11, 1135—
 1142 (англ.)

Изучено влияние состава исходных в-в, т-ры и давл. на фазовый состав, выход и морфологию продукта при синтезе CrO_2 (I) из смеси CrO_3 (II) и $\text{CaCl}_2 \cdot 2\text{H}_2\text{O}$ (III). Полученные образцы I изучены с помощью дифрактометрии и электронной микроскопии. Механизм

образования I соответствует р-циям: 1) $\text{III}_{(к)} \xrightarrow{-100^\circ} \text{CaCl}_{2(к)} - (\text{IV}) + 2\text{H}_2\text{O}_{(г)}$; 2) $\text{II} + \text{IV} \xrightarrow{>300^\circ} \text{CrO}_2\text{Cl}_{2(ж)} - (\text{V}) + \text{CaO}$;

3) $\text{V} \xrightarrow{} \text{I} + \text{Cl}_{2(г)}$; 4) $\text{II} \xrightarrow{} \text{I} + 1/2\text{O}_2$. Выход I увеличивается с ростом давл. и т-ры в интервале 330—360°. Вид кристаллов I зависит от содержания III в исходной смеси. Максим. выход I (до 90%) получен при 360°, давл. 45 атм. и продолжительности р-ции 24 часа.

Л. Г. Титов

Х. 1979, № 11

1978

CrO₂

1 Б951. Исследование *pT*-диаграммы и устойчивости оксида четырехвалентного хрома. Legm A., Elbing G., Rossmann P. Untersuchungen zum *pT*-Diagramm und zur Stabilität von Chrom (IV)-oxid. «Z. anorg. und allg. Chem.», 1978, 442, № 5, 5—10 (нем., рус., англ.)

Исследована стабильность CrO₂ (I) в зависимости от т-ры и давл. кислорода. Образцы I получали и выделяли в спец. бомбе с максим. давл. кислорода 150 атм. При хим. анализе I образцы предварительно обрабатывали смесью H₂SO₄—H₃PO₄—HClO₄, затем хром окисляли в щел. среде перекисью водорода до хромата и титровали р-ром FeSO₄. Изучено также уд. намагничивание образцов в зависимости от т-ры и содержания I в образцах. Установлено, что I получается при т-ре выше 395° и давл. 20 атм, причем при повышении т-ры необходимо также повышать давл. кислорода, чтобы избежать получения Cr₂O₃. Л. Г. Титов

pT-диагр.,
устойчив.

21949, N

1979

Cr₂O₃

6 Б716. Диссоциация окиси хрома в присутствии углерода. Водопьянов А. Г., Кожевников Г. Н. «Изв. АН СССР. Мет.», 1979, № 6, 58—62

Проведен термодинамич. анализ восстановления окиси хрома при $P_{CO} = 1$ атм. Процесс восстановления представлен совокупностью р-ций диссоциации окислов хрома, а также горения и регенерации CO. Табулированы парц. давл. Cr_2O_3 , CrO , CrO_2 , CrO_3 , Cr, O, O₂ и CO₂ в интервале т-р 1273—1873 К с шагом 200 К. Отмечено, что наиболее благоприятные условия восстановления Cr_2O_3 создаются при т-рах выше 1667 К. В интервале т-р 1373—1873 К исследовано взаимодействие Cr_2O_3 с углеродом на расстоянии 0,35 мм в атмосферах Ar,

диссертация
на соискание

2.1680.№6

CO и в вакууме. Показано, что в Ag и в вакууме взаимодействие осуществляется путем диссоциации окисла с образованием карбида Cr_3C_2 на Pv углерода. В атмосфере CO взаимодействие осуществляется как путем восстановления монооксидом углерода до карбидов хрома, так и диссоциации с образованием Cr_3C_2 на Pv углерода. При этом вклад диссоциации зависит от доли Pv оксида, свободной от адсорбированного газа — реагента и продуктов восстановления. А. Б. Кисилевский

CrO ₂ 310	Горохов А.Н., Гусаров А.В., Еменбеков А.М.
АРД	В ЕС.: VIII - 3 Всесоюзный конгр. по калориметрии и хими термодинамике. Техн. го- родок, II ПКТБИ Иваново.
25	Иваново. хим.-техн. инст. 1979 = 329 CrO ₂ (г) т.ч. -

Cr_2O_3

1979.

T_{tr}

curiez

Pouchard M., et al.

"High. Purity Mater. Sci
and Technol. 5th Int.
Symp., Dresden, 1980. Proc.
Vol. 1." Dresden, 1979, 159-
-172.

(cu. V_2O_3 ; I).

$\text{CaO}_2(\text{z})$

1980.

Серебренников Н. В., Шайхов А. Р.

Вестн. НГУ. Сер. хим. 1980, № 1, с. 148.

1982

22 Б594. Магнитная структура малых частиц CrO_2 .
Magnetic structure of small CrO_2 particles. Haneda
Koichi, Kojima Hiroshi, Morrish Allan H.,
Wakai Kunio «Ferrites. Proc. ICF 3, Kyoto, Sept.
Oct., 1980. Tokyo; Dordrecht, 1982, 622—626 (англ.)

В рамках проводимых в настоящее время исследований специфики магнитной структуры Пв и объема малых частиц [см. напр. Morrish A. H., Haneda K., Schurer P. J., J. Phys (Paris), 1976, 37, С6—301] методом мессбауэровской спектроскопии (съемка спектров в интервале T -р 4,2—404 К для двух разным способом приготовленных образцов, без и с внешним продольным магнитным полем $H \sim 50$ кэ) проведено изучение структуры малых частиц (с линейными размерами $\sim 0,25$ мкм) CrO_2 (структурный тип рутила, $T_c \sim 397$ К), содержащих ~ 1 ат% ^{57}Fe . На основании полученных данных, а также данных по измерению намагниченности образцов в полях вплоть до 18 кэ предложена модель магнетизма исследуемой системы.

Структура

Х. 1983, 19 № 22.

Ниже T_c соединение — неколлинеарный магнетик. При 4,2 К величина удельного магнитного момента существенно ниже соотв-щего значения, наблюдалемого в случае чисто «объемного» магнетизма образца (76 и 120 ед. СГСМ/г соотв). В соответствии с моделью магнитная структура частицы состоит из ядра с обычным размещением спинов в пространстве и совокупности атомных моментов в приповерхн. слое, направленных под нек-рым углом к основному направлению намагничения частицы. При нагревании образца вплоть до 300 К изменения в структуре незначительны.

И. Д. Датт

м гр
зают

$\text{CrO}_2(\text{z})$

1582

ХанТЮ.Г., Жаркубызов Т.А.-
ОКИИГЭХҮҮН, Den. N-32, Чөлкөсүү,
1582 (бизату).

CrO_2

1982

№ 3 В7. Получение оксида четырехвалентного хрома из нонагидрата нитрата трехвалентного хрома. Chromium (IV) oxide prepared from chromium (III) nitrate nonahydrate. Hill W. D. «Inorg. Chim. Acta», 1982, 65, № 3, 100 (англ.)

Показано, что при нагревании $\text{Cr}(\text{NO}_3)_3 \cdot 9\text{H}_2\text{O}$ образуются CrO_2 (I), H_2O , NO_2 и O_2 . Показано, что I ферромагнитен, не растворяется в H_2O и мин. к-тах при комн. температуре.

Н. А. Добрынина

10.11.1982

X. 1983, 19, N 3

$\text{CrO}_2(n)$

1983

Томберг С. З.,
Розаукай А. Я.

$\Delta_f H^\circ$ Ж. геог. науки, 1983,
57, № 11, 2691–2695.

(ав. $\text{CrO}(n); ?$)

CrO₂

1983

7 В3. Новые гидротермальные методы с [использованием] окисляющих растворов: применение к синтезу диоксида хрома. New hydrothermal methods with oxidizing solutions: application to chromium dioxide synthesis. Hagenmüller Paul, Demazeau Gérard, Pouchard Michel. «Proc. 1st Int. Symp. Hydrotherm. React., Tokyo, March 22—26, 1982». Tokyo, 1983, 612—620 (англ.)

Описан синтез ферромагнитного CrO_2 , заключающийся в гидротермальном окислении безводн. или гидратированного Cr_2O_3 под давл. кислорода (~2 кбар) с использованием различных окисляющих агентов: HJO_3 , H_5JO_6 , HClO_4 или NH_4ClO_4 при т-рах 350—420° С. Оптимизация эксперим. условий синтеза позволила получить CrO_2 с недостаточно высокими значениями коэрцитивной силы. Для увеличения коэрцитивности и магнитокрист. анизотропии CrO_2 изучено влияние введения в крист.

Синтез

X. 1984, 19, N 7

решетку диоксида катионов Rh(4+) и Ir(4+), характеризующихся анизотропным электронным распределением. Синтезированы тв. р-ры $\text{Cr}_{1-x}\text{Rh}_x\text{O}_2$ (I) и $\text{Cr}_{1-x}\text{Ir}_x\text{O}_2$ ($0 < x < 1$) с решеткой рутила. I и II охарактеризованы измерениями магнитных параметров. С целью снижения содержания благородных металлов в тв. р-рах разработаны методики синтеза I и II с использованием буферных агентов, в частности, HBO_3 и оксалата железа, позволяющие получать высокие значения коэрцитивности при низких значениях x .

Г. П. Чичерина

GrO₂

1983

7 Б2134 Деп. Диоксид хрома и физико-химические свойства его модификаторов. Осмоловский М. Г., Откупщиков А. Ю., Шаховская О. Ф. «Фимия и физ. тверд. тела. Тр. 10 Межвуз. конф. мол. ученых, Ленинград, 1—3 марта, 1983. Ч. 3». Л., 1983, 147—152, ил. Библиогр. 6 назв. (Рукопись деп. в ОНИИТЭхим г. Черкассы 7 дек. 1983 г., № 1188хп—Д83)

В гидротермальных условиях кристаллизации ферромагнитного CrO_2 возможны 2 механизма образования зародышей: на матрице-добавке или спонтанное, в р-ре хромата хрома. Зародыши являются смешанными оксидами добавок и хрома, имеют структуру типа рутила. Их размер зависит от физико-хим. св-в добавок: дисперсности матрицы или особенностей строения кристаллов других добавок, влияющих на скорость и т-ру растворения.

Автореферат

X. 1984, 19, N 7

$\delta\text{-Cr}_2\text{O}_3$

1984

Yu Ruehwang.

Tiegou Huaxue 1984,

Tm, Pb; 3(3), 193-209.

(crys. Cr_2O_3 ; I)

CrO₂

Schwarz K.

1986

4 Б2222. Предсказание [свойств] CrO₂ как полуметаллического ферромагнетика. CrO₂ predicted as a half-metallic ferromagnet. Schwarz K. «J. Phys. F: Metal Phys.», 1986, 16, № 9, L211—L215. (англ.)

Методом присоединенных сферич. волн выполнен самосогласованный спин-поляризованный расчет зонной структуры ферромагнетика CrO₂ (I), имеющего структуру рутила. Показано, что зонная структура I состоит из низколежащих зон O 2s, выше к-рых расположены зоны O 2p, взаимодействующие с обменно-расщепленными состояниями Cr 3d. Состояния O 2p и Cr 3d (\uparrow) образуют ковалентные связи, а состояния (\downarrow) сильно расщеплены, что приводит к полуметаллич. поведению I. Проведено сравнение полученных результатов с данными для др. диоксидов металлов, а также с др. данными для I, полученными др. методами. Отмечено, что рассчитанная величина магн. момента для ионов Cr 2,0 μ в хорошо согласуется с эксперим. значением 2,01±0,03 μ в. Ю. В. Ракитин

X. 1987, 19, N 4

CrO₂

Schmitt W.

1987

11 Б2242. CrO_2 — новый полуметаллический ферромагнетик. CrO_2 — a new half-metallic ferromagnet? Kämperg K. P., Schmitt W., Güntherodt G., Gambino R. J., Ruf R. «Phys. Rev. Lett.», 1987, 59, № 24, 2788—2791 (англ.)

При комн. т-ре на фотонах с энергией $h\nu=21,2$ эВ исследованы фотоэлектронные спектры для поликрист. ферромагн. Пл CrO_2 (I), полученных разл. Cr_2O_3 вблизи Пв подложки. Установлено, что в обл. энергий связи $E_b \sim 2$ эВ спиновая поляризация I достигает +95 %, а затем убывает вплоть до $E_b=5$ эВ. В интервале от $E_b=2$ эВ до энергии Ферми E_F интенсивность спектров мала. При нагревании Пл I до $\sim 200^\circ\text{C}$ в спектре по-

X.1988, 19, n//

является пик, свидетельствующий об образовании Cr_2O_3 на Pb микрокристаллов. Отмечено, что полученные результаты не согласуются с результатами расчетов зонной структуры I, из к-рых следует, что I должен быть ферромагн. полуметаллом с макс. спиновой поляризацией +100% при E_F .

Ю. В. Ракитин

CrO_2

Hill W.D. РМ-28030

1987

8 В10. Реакция оксида четырехвалентного хрома с водородом. The chromium(IV) oxide-hydrogen reaction. Hill W. D. Jr. «Inorg. chim. acta», 1987, 133, № 1, 19 (англ.)

Изучена р-ция CrO_2 с водородом в условиях р-ции оксида $\text{Fe}(3+)$ с водородом (см. «Inorg. chim. acta», 1986, 121, L33). Установлено, что при этом черн. ферромагнитный CrO_2 восстанавливается: $\text{CrO}_2 + \text{H}_2 \rightarrow \text{Cr}_2\text{O}_3 + \text{H}_2\text{O} \uparrow$. Полученный зел. неферромагнитный Cr_2O_3 не р-ряется в воде, неорг. к-тах и ф-рах щелочей.

С. И. Никитенко

X. 1988, 19, N 8

Iliev M.

1999

F: CrO₂

P: 1

131:150795 Raman spectroscopy of ferromagnetic CrO₂. Iliev, M. N.; Litvin A. P.; Lee, H.-G.; Chu, C. W.; Barry, A.; Coey, J. M. D. (Texas Center for Superconductivity, University of Houston, Houston, TX 77204-5932, USA). Rev. B: Condens. Matter Mater. Phys., 60(1), 33-36 (English) 1999 Polarized Raman spectra of the ferromagnetic metal CrO₂ were measured in broad temp. range including T_c apprxeq. 390 K The Raman-allowed modes of B1g, B2g, and Eg symmetry were identified and compared to the correspondi modes of isostructural TiO₂.

The 2 low-frequency Raman lines are relatively narrow, indicating weak scattering of the corresponding B_{1g} and E_g phonon. Whereas the Raman intensities are not visibly affected by the magnetic or the dependences on temp. of the phonon wave nos. exhibit peculiarities that could be attributed to a spin-phonon interaction. The variations with T phonon linewidths follow at low temps. the dependence expected for phonon scattering. An addnl. broadening at higher temps. with a max. near T_c is tentatively assigned to scattering from collective spin fluctuations.

F: CrO₂

P: 1

131:250594

Raman spectra of the half-metallic ferromagnet CrO₂. Iliev, M. Litvinchuk, A. P.; Lee, H. G.; Chu, C. W.; Barry, A.; Coey, J. M. D. Texa Center

Superconductivity, Univ. Houston Houston, TX

77204, USA Phys. Stat Solidi B, 215(1), 643-646

(English) 1999 CrO₂ attracts significant interest as it has a unique electronic band structure, resulting in half-metallic ferromagnetism ($T_C \approx 390$ K) completely spin-polarized electrons at EF. We report the polarized Raman spectra of CrO₂ between 5-420 K, as obtained from (110) and (001) oriente films on TiO₂ substrates of the same orientation. The Raman lines corres to the 4 Raman allowed phonon modes of

1999

A_{1g}, B_{1g}, B_{2g}, and E_g symmetry were identified. The 2 low-frequency Raman lines are very narrow, in particular at low temps., indicating weak scattering of the corresponding B_{1g} and E_g ph whereas the line position vs. T dependencies change their slope near T_C for A_{1g} and E_g modes. At low temps. the variations with T of the phonon line follow the dependence expected for a phonon-phonon scattering.

The addnl broadening, which appears with approaching T_C is tentatively assigned to scattering of phonons from collective spin fluctuations.